

بررسی ژنز آمفیبولیت های بنه شورو در پشته گلمنده (ساغند- ایران مرکزی)

آرش گورابجیری پور^۱، عبدالرحیم هوشمند زاده^۲، خسرو خسرو تهرانی^۳، محمد هاشم امامی^۴

۱- دانشجوی دکترای پترولوجی - دانشگاه آزاد اسلامی واحد علوم و تحقیقات

۲- عضو هیئت علمی دانشگاه آزاد اسلامی واحد زرند کرمان

۳- عضو هیئت علمی دانشگاه آزاد اسلامی واحد علوم و تحقیقات

۴- عضو هیئت علمی دانشگاه آزاد اسلامی واحد اسلام شهر

چکیده

پشته گلمنده به صورت یک برآمدگی کم ارتفاع در شمال شرق شهرستان ساغند، در استان یزد قرار دارد و از نظر تقسیمات زمین‌شناسی ساختاری ایران بخشی از ایران مرکزی و بلوک پشت بادام - کلمرد در شرق گسل پشت بادام است.

این پشته شامل مجموعه دره‌های رسوبی دگرگون شده، مجموعه آمفیبولیتی و گینیس‌های صورتی کوارتز و فلدسپاتیک می‌باشد. مجموعه آمفیبولیتی بخش اعظم پشته را شامل شده که خود به سه بخش هورنبلنیت (با بیش از ۹۰ درصد هورنبلنیت)، گارنت آمفیبولیت (دارای پلازیوکلاز الیگوکلاز و هورنبلن نوع چرماتیک- ہاستینگزیت و گارنت‌های درشت قهوه ای رنگ آلماندن) و گنایس‌های آمفیبولیتی خاکستری با ساخت نواری و بافت چشمی کانی‌های پلازیوکلازها قابل تقسیم است.

بررسی‌های ژئوشیمیایی و مشاهدات صحرایی نشان از پرتوولیت ماگمایی آمفیبولیت‌ها ولی با دو منشا متفاوت دارد. یکی گابرو و بازالت‌های با ترکیب کالکو آلکالن تا کالکو آلکالن پتاسیک و با منشا گوشه‌های غنی شده و دیگری گابرو- گوریوریت‌های کالکو آلکالن تا توئینیت تحت تاثیر آلدگی پوسته ای و هر دو درون ورقه ای قاره ای که می‌تواند حاصل تاثیر یک نقطه داغ در زیر پوسته، در دوزمان متفاوت باشد.

واژگان کلیدی: ساغند- پشته گلمنده- آمفیبولیت- ژنز- بنه شورو- گارنت آمفیبولیت- گوشه‌های غنی شده

مقدمه

بخش غربی را زنجیره‌ای از کلوت‌های وسیع می‌سازد که بر رویهم روندی شمال شرق – جنوب غربی دارد. مجموعه پشت بادام که از قدیمی ترین واحدهای بخش غربی است، در غرب دهکده پشت بادام و بین گسل پشت بادام و کلوت چاتک بیرون زدگی دارد و شامل مجموعه‌ای از گنیس، میکاشیست، مرمر، آمفیبولیت، کوارتزیت و متاولکانیک است که عمدتاً به پالئوزوئیک بالا تعلق دارد [۱].

کلوت‌های خشومی، نی باز، چاپدونی و بالاخره چاتک است که از گنیس، آمفیبولیت و میکاشیست تشکیل شده است. این کلوتها بخش‌های نمایان یک مجموعه هسته‌ای دگرگون (metamorphic core complex) که در آنها دگرگونی تا آناکسی پیش رفته و سنی معادل ائوسن میانی دارد. [۴]

بخش شرقی از قدمت بیشتری برخوردار بوده و به واقع بخشی از پی سنگ ایران زمین است. این بخش شامل مجموعه زمان آباد، بنه شورو و سازند تاشک است.

قدیمی ترین سنگ‌های این بخش شامل مجموعه‌ای از اسلیت، میکاشیست، کوارتزیت، متاگریواک، ولکانی کلاستیک و گدازه‌های مافیک است که بنام سازند تاشک معرفی شده است. این سازند حاوی زیرکن‌های آواری به سن ۶۲۷ میلیون سال است که توده نفوذی گرانیتی به سن ۵۳۳ میلیون سال آن را مورد هجوم قرار داده است. این واحد توسط مجموعه رسوبی – ولکانیکی کامبرین پوشیده شده است [۱۰]. سپس واحد کربناتی دریایی کم عمق پرمین-تریاس با ناپیوستگی شیب دار بر روی مجموعه کامبرین قرار گرفته است.

محدوده مورد مطالعه در استان یزد، برگه‌های ۱:۲۵۰۰۰۰ اردکان، ۱:۱۰۰۰۰ ساغند و ۱:۲۵۰۰۰ چاه میونته و مختصات $۳۰^{\circ}, ۳۰^{\circ}, ۲۲^{\circ}, ۵۵^{\circ}$ تا $۳۰^{\circ}, ۰^{\circ}, ۳۷^{\circ}, ۳۲^{\circ}$ عرض شمالی در زون $۴۰^{\circ}, ۰^{\circ}, ۴۵^{\circ}, ۳۲^{\circ}$ تا $۳۰^{\circ}, ۳۷^{\circ}, ۳۷^{\circ}, ۳۲^{\circ}$ جغرافیایی واقع شده است. دستریسی به محدوده مورد مطالعه از طریق جاده اصلی یزد به طبس است. ساغند در فاصله ۱۲۰ کیلومتری شمال شرق یزد قرار دارد. ۲۰ کیلومتر پس از ساغند به طرف شمال در جاده آسفالتی ساغند-رباط پشت بادام جاده فرعی به سوی شرق جدا شده و پس از ۱۵ کیلومتر به دامنه جنوبی پشته گلمنده منتهی می‌شود. بر مبنای تقسیم‌بندی زمین‌شناسی ساختاری ایران بخشی از زون ایران مرکزی و بلوك پشت بادام-کلمرد را شامل می‌شود.

بلوك پشت بادام-کلمرد مجموعه‌ای از سنگ‌های آذرین و دگرگونی قدیمی از پرکامبرین تا پالئوزوئیک زیرین و رسوبات مزوژوئیک و نفوذیهای گوناگون رخ می‌نماید. این بلوك را می‌توان از نظر زمین‌شناسی، مورفولوژی به دو بخش تقسیم کرد. گسل پشت بادام مرز جدایش این دو محدوده است که با روندی شمال شرق-جنوب غرب ناحیه را به دو قسمت غربی و شرقی تقسیم می‌کند این گسل در نزدیکی شهر ساغند تغییر جهت داده روند آن شمال غرب-جنوب شرق می‌شود (شکل ۱).

بخش شرقی ناحیه بیشتر شامل رشته‌های نه چندان مرتفعی است که از میان یک سری کفه‌های بیابانی سر برآورده‌اند.

ب- جمع‌آوری اطلاعات و تهیه و پردازش تصاویر ماهواره Aster با دقت ۱۵ متر در تلفیق با تصاویر IRS با دقت ۵ متر(شکل ۲) به منظور تهیه نقشه زمین شناس محدوده مورد مطالعه (شکل ۳).

ج- مطالعات صحرایی نمونه‌برداری از واحدهای سنگی محدوده به صورت عادی و جهت‌دار و اندازه‌گیری‌های ساختاری

د- مطالعات آزمایشگاهی شامل تهیه و مطالعه مقاطع نازک، تجزیه کل سنگ و تجزیه الکترون میکروپرورب. آنالیز سنگ کل برای ۴۳ عنصر به روش ICP در آزمایشگاه ALS کشور کانادا انجام شد. روش مورد استفاده برای ۱۰ اکسید عناصر اصلی ME-ICP₀₆ و برای عناصر کمیاب MS₈₁ انتخاب شد.

همچنین آنالیزهای کانی شناسی به روش الکترون میکروپرورب پس از آماده‌سازی، در دانشگاه ماکیسمیلیان هامبورگ آلمان توسط دستگاه SX100 انجام شد.

ه- تلفیق و تحلیل اطلاعات
پشته گلمنده

پشته گلمنده به صورت یک برآمدگی بیضی شکل با روند شمال غرب-جنوب شرق در میان کویر الله آباد و شرق گسل پشت بادام بخشی از مجموعه بنه شورو است که مطالعه آن به عنوان پی سنگ ایران از اهمیت زیادی برخور دارد.

پس از مجموعه پرمین-تریاس سنگ‌های کربناته آواری کرتاسه اریتوولین دار (آلین تا آپتین) با ناپیوستگی زاویه دار روی واحدهای قدیمی تر قرار گرفته است.

کمپلکس بنه شورو شامل مجموعه‌ای از میکاشیست، گنیس، آمفیبولیت، مرمر و کوارتزیت است که در آن آمفیبولیت‌های حاوی گارنت‌های درشت از گسترش زیادی برخوردار است.

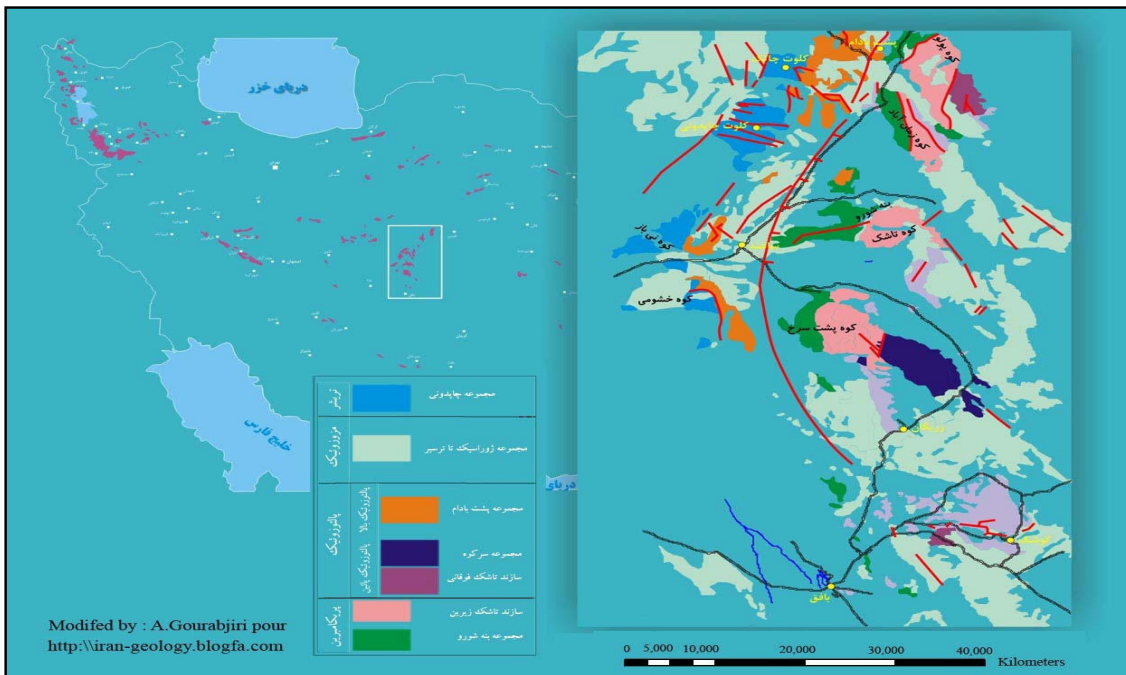
سن دگرگونی آمفیبولیت‌ها 547 ± 2 میلیون سال اندازه‌گیری شده است [10] که در تناب با میکاشیست‌ها قرار داشته و بوسیله توده‌های گرانیتی (اکنون گنیس) به سن 533 میلیون سال [10] مورد هجوم قرار گرفته است.

روش کار

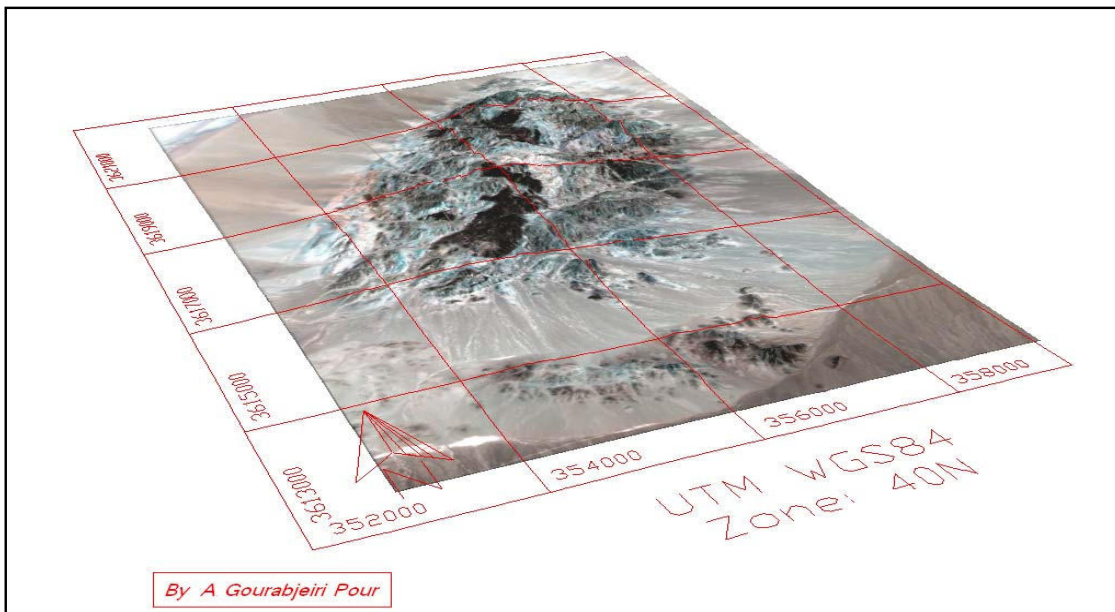
اجرای یک موضوع تحقیقاتی زمین شناسی با توجه به ماهیت تجربی آن ضمن دارا بودن مفاهیم پژوهشی از روش‌های خاص خود برخوردار است که به سه بخش عمده زیر قابل تقسیم است.

۱- مطالعات صحرایی، ۲- مطالعات آزمایشگاهی و ۳- کارهای دفتری شامل تلفیق و تحلیل اطلاعات بدست آمده و تهیه گزارش
مراحل انجام شده در طی این تحقیق:

الف- بازدید و نمونه‌برداری مقدماتی



شکل ۱- نمایی کلی از ناحیه و موقعیت مجموعه های شناخته شده در دو طرف گسل پشت بادام



شکل ۲- تصویر ماهواره ای سه بعدی پشته گلمنده از تلفیق تصاویر ماهواره Aster و IRS

منشاء آمفیبولیت‌های بنه شورو در پشته گلمنده (ساغند - ایران مرکزی)

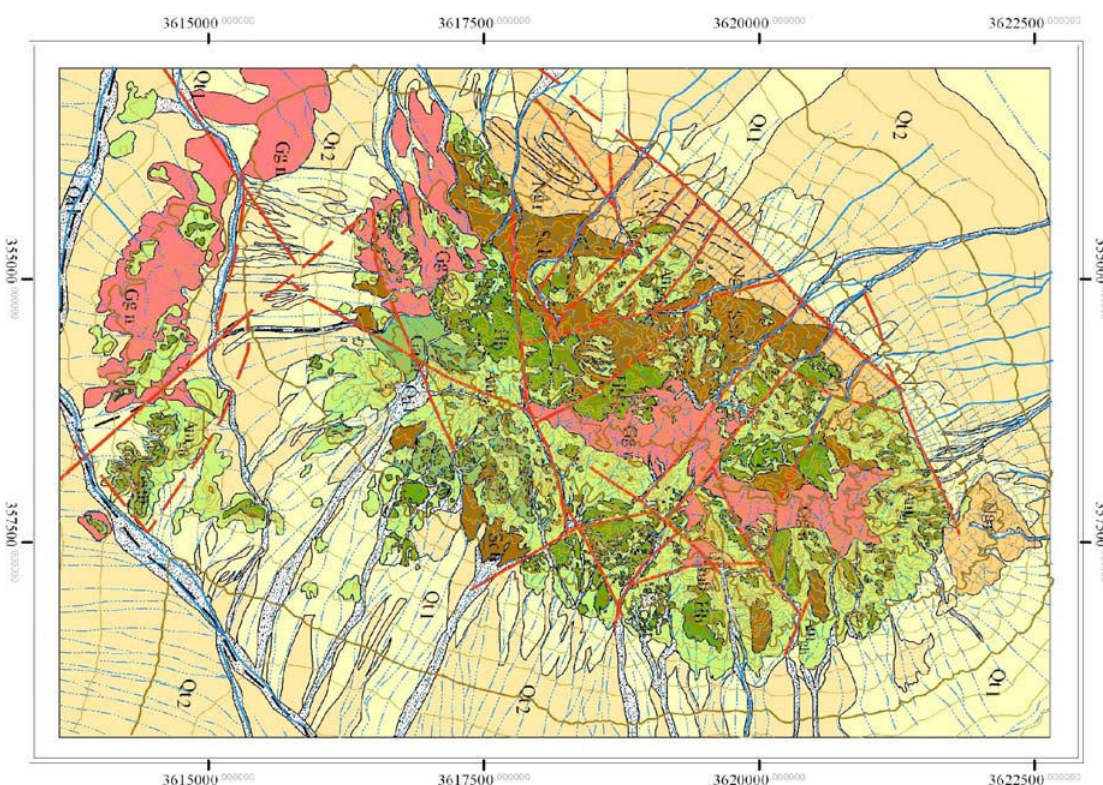
Precombian	late Combian		Neogene	Quaternary
Gelmande Metamorphic core complex				
nb	Mgb Angl Gam Hb	Ggn	Ngr	Qrt2 Qrt1 Qlt1: Old terraces
Sch				Qlt2: Young terraces
				Qlt: Recent alluvium

nb: light grey marble.
Sch: Mea schist.

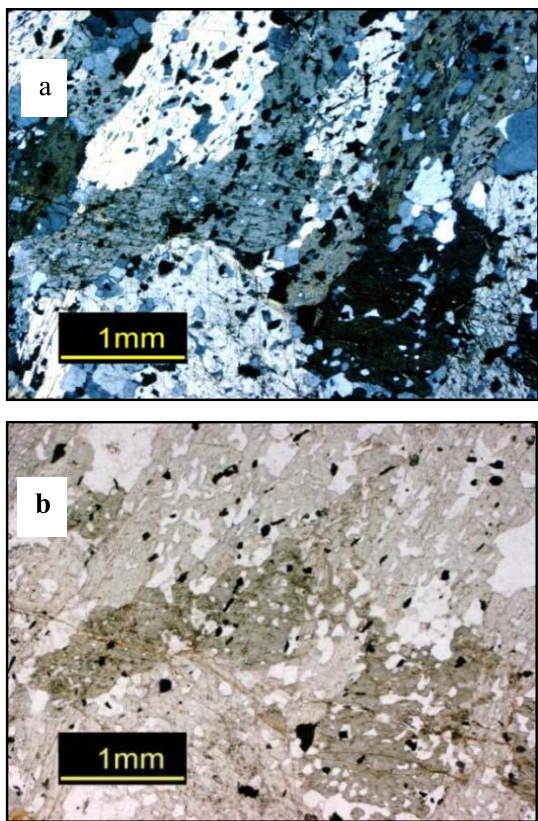
Mgb: Metamorphic Gabbro complex (548+ 23 Ma).
Angl: Amphibolite grey Gneiss.
Gam: Garnet Amphibolite.
Hb: Hornblanite.

Ggn: Granitic Gneiss (533 Ma).

LEGEND



شکل ۳- نقشه زمین شناسی گلمنده



شکل ۵- آمفیبول های واحد هورنبلنديت، a در نور پلازيره و b در نور معمولی (برگنمایی ۲.۵X)

بیوتیت، اپیدوت و اسفن نیز کانی های فرعی تشکیل دهنده این واحد می باشد. گارنت ها اغلب ترکیب آلمانن- گروسولار داشته فاقد زوینینگ بوده و در محل شکستگی ها تجزیه شده، به کلریت و کوارتز تبدیل شده اند. آمفیبول ها به طور کلی نیمه شکل دار تا بی شکل، بیشتر به صورت ستونی کوتاه تا طویل یا میله ای پهنه تقریباً ستونی، به ندرت خودشکل و در مقاطع عرضی با حواشی شش ضلعی دیده می شوند. رنگ سبز متمايل به آبی از مشخصات این کانی بوده و بر اساس نمودارهای ۶، ۷ و ۸ در گروه آمفیبول های کلسیک،

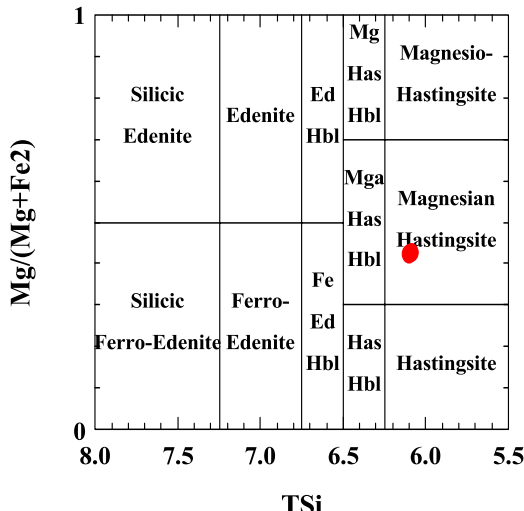
پتروگرافی و تجمع کانی ها

واحد آمفیبولیتی بخش عمده ای از پشته گلمنده را به خود اختصاص داده است و شامل سه بخش هورنبلنديت (آمفیبولهای درشت)، گارنت آمفیبولیت و گنیس های مافیک خاکستری رنگ است که مشخصه غالب این واحد رنگ تیره (سبز تیره مایل به سیاه) و گارنت های درشت است که قطر آن گاهی تا ۲/۵ سانتیمتر می رسد.

هورنبلنديت: هورنبلنديتها با مقادیر بالای آمفیبول درشت دانه دارای چند رنگی سبز- آبی مشخص می شوند. در اغلب موارد مقدار هورنبلن در آنها تا ۹۰٪ حجم سنگ را تشکیل می دهد و اندازه آنها در برخی مناطق تا ۸ mm رسانیده است. این واحد دارای مقادیر اندک پلازیوکلاز و کوارتز به همراه کانی های فرعی آپاتیت و اسفن می باشد. هورنبلندها (شکل ۵) اغلب به صورت شکل دار کامل تا بی شکل دیده می شود و قادر برگوارگی شاخص بوده و تنها دارای جهت گیری منشورهای آمفیبول می باشد. در مقاطع نازک هورنبلندها از برجستگی و چند رنگی ضعیف تری نسبت به آمفیبولهای درون گنیس ها و آمفیبولیت ها برخوردارند.

گارنت آمفیبولیت : گارنت آمفیبولیت ها با بافت گرانولار تا نوماتوبلاستیک، کانی های درشت و صورتی گارنت (شکل ۹a و b) و بدون ساختار نواری واضح مشخص می شوند. از دیگر ویژگی های این واحد وجود آمفیبول های سبز آبی سالم با برجستگی خوب و پلازیوکلازهای دارای ماکل آلبیتی و کمی سریسیتی است.

منشاء آمفیبولیت‌های بنه شورو در پشته گلمنده (ساغند- ایران مرکزی)

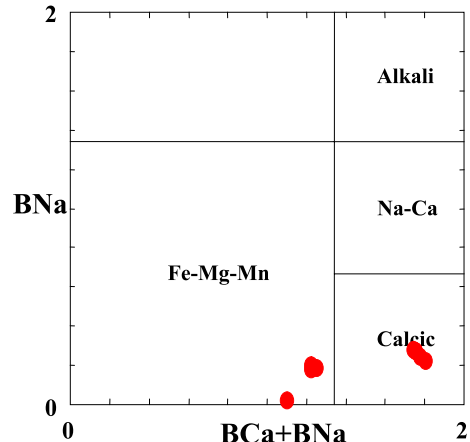


شکل ۸- تعیین سری آمفیبول ها بر اساس

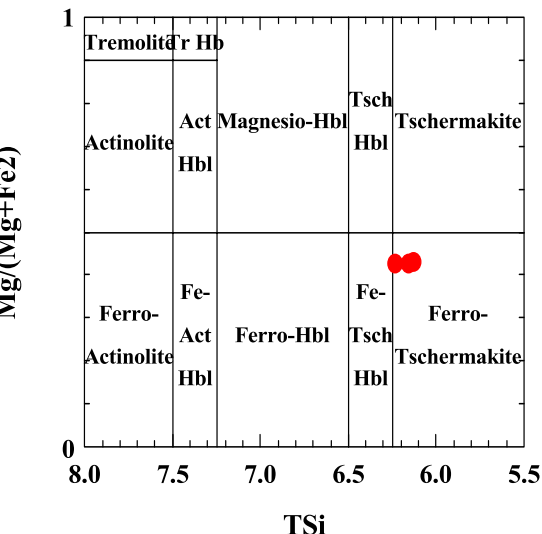
$\text{ANa}+\text{AK}>0.5; \text{Ti}<0.5; \text{Fe}>\text{Alvi}$

(Hawthorne1981)[8]

خانواده هورنبلند سبز و در سری هاستینگزیت- چرماتیت قرار می گیرند. شکل ۹ وضعیت کانی‌های سازنده این سنگ را نشان می دهد.



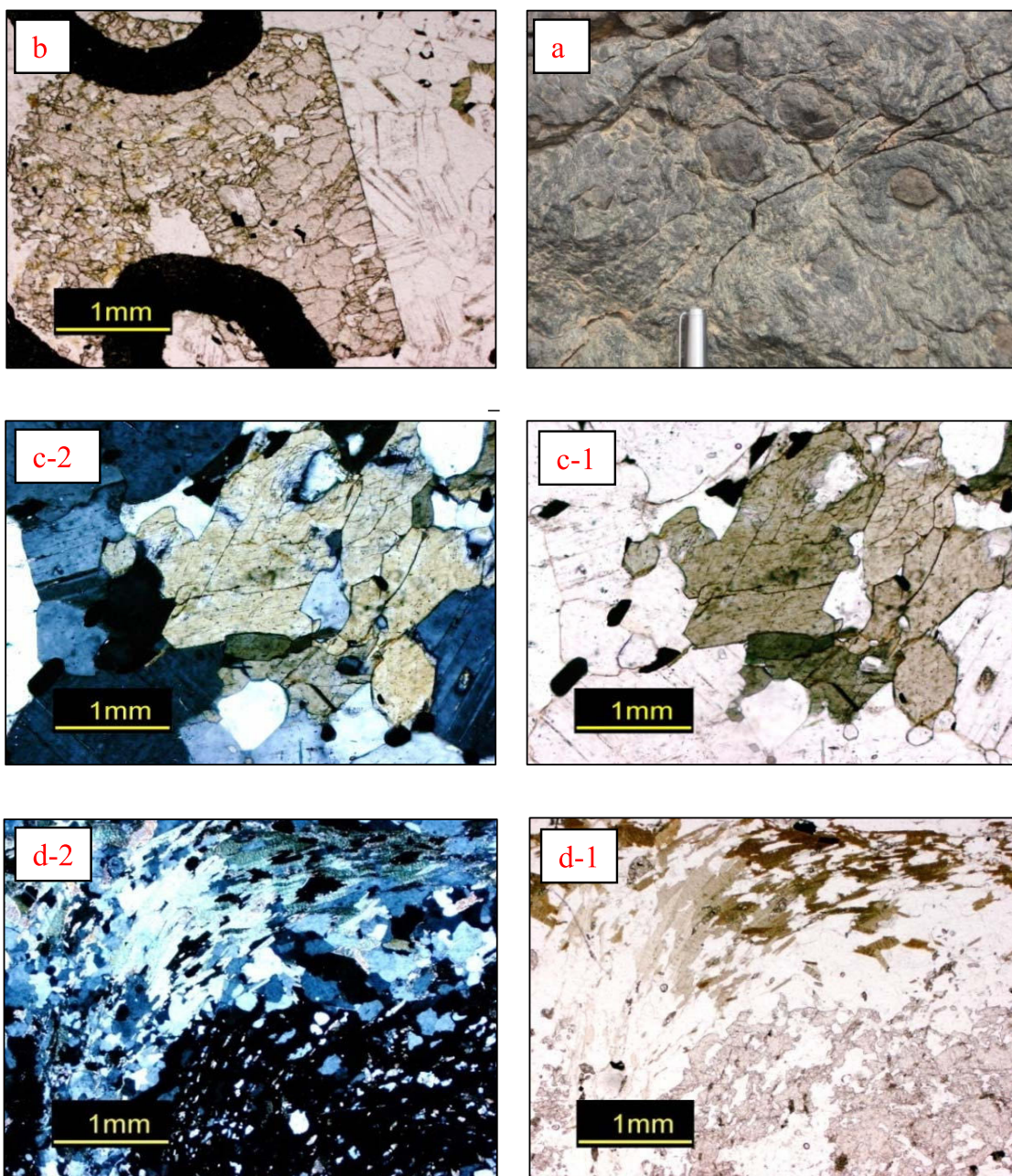
شکل ۶- نمودار گروه بندی آمفیبول ها [8] (Hawthorne1981)[8]



شکل ۷- تعیین سری آمفیبول ها بر اساس

$\text{ANa}+\text{AK}<0.5; \text{Ti}<0.5$

(Hawthorne1981)[8]



شکل ۹- نمایی از گارنت آمفیبولیت های ناحیه. a- گارنت های درشت قهوه ای در واحد گارنت آمفیبولیت در نمونه دستی، b- نمایی از گارنت نیمه شکل دار در گارنت آمفیبولیت (بزرگنمایی $10\times$)، c-1 مقطع عرضی کانی آمفیبول در نور معمولی و c-2 در نور پلاریزه (بزرگنمایی $10\times$)، d- تشکیل ساخت چشمی در اطراف بلور گارنت در واحد گنیس مافیک، d-1 در نور معمولی و d-2 در نور پلاریزه (بزرگنمایی $2.5\times$).

مطابق جدول ۱ مقدار SiO_2 بین ۴۵-۵۷٪ با میانگین ۵۱.۳٪ و Al_2O_3 بین ۱۰-۱۸.۹٪ با میانگین ۱۴.۴٪ متغیر است. دامنه تغییرات سایر اکسیدهای عناصر اصلی هم شامل Fe_2O_3 بین ۶.۷۷- ۱۴.۶-۹.۳۴٪ MgO ۱۵.۵٪ CaO ۱.۴۶-۹.۳۴٪ MnO ۰.۶۳-۰.۲۶-۲.۸۱٪ K_2O ۱.۲۶-۷.۳۲٪ Na_2O ۰.۱۴-۰.۸۸٪ P_2O_5 ۰.۰۹-۰.۳۶٪ TiO_2 ۳.۶۵٪ است. بر این اساس تغییرات درجه اشباع آلومینیم (A/CNK) بین ۰.۸۷-۱.۰۶٪ نسبت $\text{Mg}^{\#}$ بین ۰.۴۴- ۰.۵۲٪ تغییر می‌کند. که این تغییرات با میانگین تغییرات در بازالت‌های درون صفحه‌ای مطابقت دارد. جهت نامگذاری سنگ منشاء آمفیبولیت‌ها و در تأیید مطالعات پتروگرافی صورت گرفته از دیاگرام R1-R2 (De La Roche 1980) استفاده شده است (شکل ۱۰). در این نمودار جنس نمونه از گابرو و تا گابرو دیبوریت، مونزو گابرو و دیبوریت متغیر است. همچنین نمودارهای Co-Th (Hastie et al 2007) و Nb/y-Zr/Ti (modified by pearce 1996) این سنگ‌ها را به دو مجموعه بازالت و آلکالی بازالت کالکوآلکالن تا کالکوآلکالن پ TASIK می‌کند (شکل‌های ۱۱ و ۱۲). منشاء ماقمایی نمونه‌های بررسی شده توسط کالکوآلکالن - تولئیت، Co-Th (Hastie et all 2007) کالکوآلکالن و $\text{SiO}_2\text{-K}_2\text{O}$ (Peccerillo taylor 1976) کالکوآلکالن تا کالکوآلکالن پ TASIK نشان می‌دهند (شکل‌های ۱۲ و ۱۳). نمودارهای تغییرات اکسید عناصر اصلی و عناصر کمیاب در برابر MgO (شکل‌های ۱۴ و ۱۵) آورده شده است. نحوه پراکنده‌گی نمونه‌ها ضمن نشان دادن یک جدایش از روند تفریق تبعیت می‌کنند. در این

گنیس آمفیبولیتی
گنایس آمفیبولیت یا گنیس های مافیک خاکستری رنگ بوسیله پورفیروکلاست های پلازیوکلاز بزرگ و بیوتیت مشخص می شوند که دارای آثار میلیونیتی شده و برگوارگی حاصل از آن می باشد این واحد اغلب دارای گارنت‌های صورتی می باشد که در مقاطع نازک بی‌شکل، گرد شده و دارای آثار شکستگی فراوان هستند (شکل ۹d). پلازیوکلازها بطور معمول آتراسیون شدیدی در بخش مرکزی نشان می دهند که شامل اجتماعات غنی از اپیدوت و کلسیت است. از دیگر مشخصات این واحد وجود آمفیبول ها با برجستگی خوب و چند رنگی سبز- آبی قوی می باشد که بیشتر در حاشیه گارنت‌ها دیده می شود.

تحول گنیس های مافیک به آمفیبولیت طی افزایش هورنبلند و اندازه گارنت‌ها، همچنین با کاهش آثار میلیونیتی بوده است.

ژئوشیمی

بررسی ژئوشیمی سنگ کل آمفیبولیت‌های پشته گلمنده بر اساس نتایج تجزیه نمونه هایی است که پس از برداشت و آماده سازی در آزمایشگاه ALS کانادا برای ۴۳ عنصر مورد تجزیه قرار گرفته اند. جدول ۱ نتایج اکسید عناصر اصلی و نتایج محاسبات صورت گرفته بر روی آنها را به تفکیک نشان می دهد.

این مجموعه در پشته گلمنده از گسترش زیادی برخوردار بوده و براساس شواهد صحرابی منشاء آن را می توان به یک توده گابرویی - بازالتی تبره رنگ نسبت داد. آثار و شواهد نفوذ این توده در بخش‌های قدیمی تر به دفعات مشاهده شده است.

گوشه غنی شده بازالت های آلکالن در ورقه های اقیانوسی یا قاره ای می باشد. نمودار ۱۸ عنکبوتی تغییرات نمونه های S₂,S₄,S₅,S₆,S₉,S₁₀ رادر نمودار عنکبوتی نشان می دهد. نمونه ها نسبت به P, Ti, Ta, Nb, Th غنی شدگی و برای عناصر Nd, K, Rb تا شدگی نشان می دهند. تهی شدگی Ta, Nb خاص مagmaهای است که در شرایط تکتونیکی وابسته به فرورانش تحت تأثیر آلودگی پوسته ای قرار گرفته اند. جهت تعیین محیط تکتونماگمایی و منشاء گابروهای پروتوولیت آمفیبولیت ها از نمودارهای پرس و نوری (۱۹۷۹)، مشد (۱۹۸۹) و وود (۱۹۸۰) استفاده شده است. براساس نمودار پرس و نوری (شکل ۱۹) تمامی نمونه ها در محدوده بازالت های درون ورقه ای و در نمودار های وود (شکل ۲۱) همانند نمودار مشد (شکل ۲۰) نمونه ها سری اول در محدوده بازالت های آلکالن درون ورقه ای و سری دوم در محدوده بازالت تولئیتی درون ورقه ای قرار می گیرند. بررسی جمیع مطالب حضور دو ژنز برای منشاء آمفیبولیت ها مسجّل می باشد هر چند مطالعات پتروگرافی تقاضوت زیادی بین آنها نشان نمی دهد. بر این اساس آمفیبولیت ها را می توان به دو سری جدا از هم تقسیم کرد سری اول با ترکیب کالکوآلکالن تا آلکالن پتاسیک و با منشاء گوشه غنی شده و از نوع درون ورقه ای قاره ای و دیگری کالکوآلکالن تا تولئیت از نوع درون ورقه ای تحت تأثیر آلودگی پوسته ای و فرورانش که احتمالاً جوان تر از قبلی بوده است.

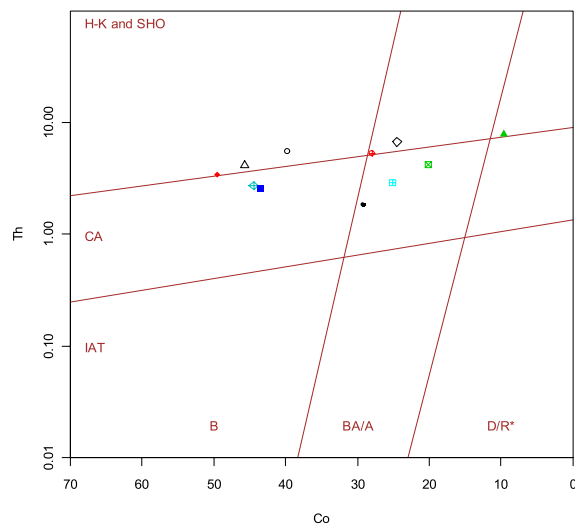
حالت $\text{Al}_2\text{O}_3, \text{SiO}_2, \text{K}_2\text{O}, \text{Na}_2\text{O}$ روند نزولی نشان داده و بقیه عناصر روند صعودی دارند. از طرفی در عناصر کمیاب سیر نزولی Ni و Cr جالب توجه بوده و Rb, Zr, Ba, Ce, Y و آلکالینیته روند نزولی نشان می دهند. داده های ضریب توزیع مایع کریستالی نشان می دهد که Cr, Ca, Ni در طی ذوب بخشی از فرایند تبلور تفریقی به اولیوین تفکیک می شود. بنابراین فراوانی این عناصر معرف مفیدی برای فرآیندهای پتروژنتیکی می باشد. تا بدینجا بررسی عناصر اصلی و کمیاب در نمودارهای هارکر نیز ضمن تأیید منشاء magma می آmfibolite ها نشان از تشکیل آنها از دو منشاء یا دو زمان متفاوت می باشد. بررسی عناصر کمیاب در نمودارهای عنکبوتی (شکل ۱۶، ۱۷، ۱۸) و نرمال کردن داده ها نسبت به کندریت شواهد جالبی را در این بخش ارائه می دهد. نسبت Eu/Eu* نمونه ها را به دو بخش تقسیم می کند. بخش با $\text{Eu}/\text{Eu}^*>1$ و دیگر <1 که اولی نشان از منشاء گوشته غنی شده و دومی حاصل آلودگی پوسته ای می باشد.

نسبت $\text{La}/\text{Sm}>1$ نیز تأییدی بر گوشته غنی شده در تشکیل منشاء آmfibolite ها دارد. نمودار ۲۱ کلیه نمونه ها را در نمودار عنکبوتی نرمال شده با کندریت (Thompson 1982) نشان می دهد. این نمودار به زیایی جداش منشاء این دو دسته سنگ را آشکار می کند. براین اساس نمونه ها از هم تفکیک و نمودار عنکبوتی آنها دو باره رسم گردید. در یک بخش نمونه S₁, S₃, S₇, S₈, S₁₁ و در بخش دیگر سایر نمونه ها قرار گرفتند. چنانکه در شکل ۱۷ دیده می شود، این سنگ نسبت به $\text{Ti}, \text{Ta}, \text{Nb}, \text{Th}$ غنی شدگی و نسبت به عناصر Sr, K, Rb فقیر شدگی نشان می دهنده که معرف منشاء

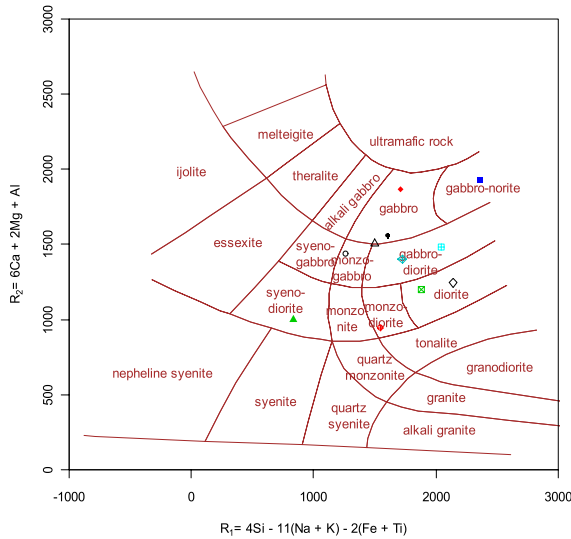
منشاء آمفیبولیت‌های پنه شورو در پشته گلمنده (ساغند - ایران مرکزی)

جدول ۱- نتایج تجزیه عناصر اصلی سنگ کل در محدوده گلمنده ناحیه ساغند

SAMPLE	S_1	S_2	S_3	S_4	S_5	S_6	S_7	S_8	S_9	S_{10}	S_{11}
$W\%$											
SiO_3	55.5	57.9	46.7	54.5	53.9	50.6	43.8	55.5	48.8	55.5	49
Al_2O_3	18.9	14.6	14.45	13.8	15.2	16.7	11.45	18.9	14.2	15.3	10.1
Fe_2O_3	6.77	8.72	12.7	11.8	10.7	10.1	15.5	6.77	14.3	8.95	12.5
CaO	5.19	6.51	8.25	5.02	8.95	8.72	11.05	5.19	8.39	6.67	12.3
MgO	1.46	5.26	6.82	2.68	4.65	6.02	9.34	1.46	4.56	3.77	8.3
Na_2O	7.32	2.94	3.16	3.01	2.82	3.09	1.74	7.32	2.52	3.56	1.26
K_2O	0.26	1.86	0.43	2.81	1.05	1.66	0.52	0.26	0.85	1.26	0.36
Cr_2O_3	0	0.04	0.02	0	0.01	0.05	0.07	0	0.02	0.01	0.11
TiO_2	1.22	0.63	2.79	2.35	1.32	0.97	3.03	1.22	2.94	1.38	2.31
MnO	0.09	0.14	0.13	0.13	0.16	0.21	0.21	0.09	0.36	0.15	0.23
P_2O_5	0.88	0.14	0.42	0.74	0.32	0.23	0.38	0.88	0.23	0.28	0.34
SrO	0.08	0.03	0.06	0.05	0.03	0.03	0.02	0.08	0.03	0.03	0.08
BaO	0.03	0.04	0.02	0.12	0.02	0.04	0.01	0.03	0.04	0.06	0.01
LOI	0.49	1.07	2.13	1.18	1.37	1.17	0.98	0.49	0.88	1.17	1.18
Total	98.2	99.9	98.1	98.2	100.5	99.6	98.1	98.2	98.1	98.1	98.1
<i>MOL%NCKFMAS</i>											
S	2662.75	3210.7	2603.12	3084.54	3039.59	2776.21	2633.22	2815.87	2942.01	3120.74	2969.77
A	2368.49	1828.5	2120.12	2264	1947.84	2084.78	1964.11	2575.79	2272.1	2029.44	1566.44
F	2.91	3.39	3.46	3.59	3.72	3.78	4.61	2.18	4.29	2.98	3.73
M	288.56	325.69	359.73	108.65	264.95	371.59	529.24	62.25	227.56	211.42	471.54
C	1008.8	892.46	904.98	877.93	959.86	1043.63	947.7	1206.43	937.6	945.06	937.76
N	3.96	3.05	3.31	3.32	2.93	3.25	1.86	8.1	2.79	3.81	1.31
K	0.75	1.27	0.3	2.04	0.72	1.15	0.37	0.19	0.62	0.89	0.25
A/CNK	0.68	0.78	0.7	0.8	0.69	0.73	0.49	0.87	0.7	0.79	0.41
Mg#	0.63	0.68	0.66	0.45	0.61	0.68	0.68	0.44	0.53	0.6	0.71



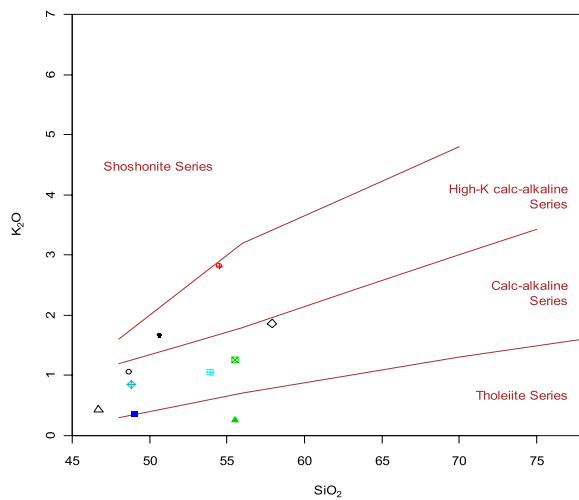
شکل ۱۲- طبقه بندی سنگ های بازیک با استفاده از تغییرات Co در برابر Th (Hastie et all 2007). در این نمودار نمونه ها به دو دسته بازالت و آلکالی بازالت تقسیم شده که در محدوده سری ماگمایی کالکوآلکالن تا کالکوآلکالن پتاپیم بالا قرار می گیرند. [۳]



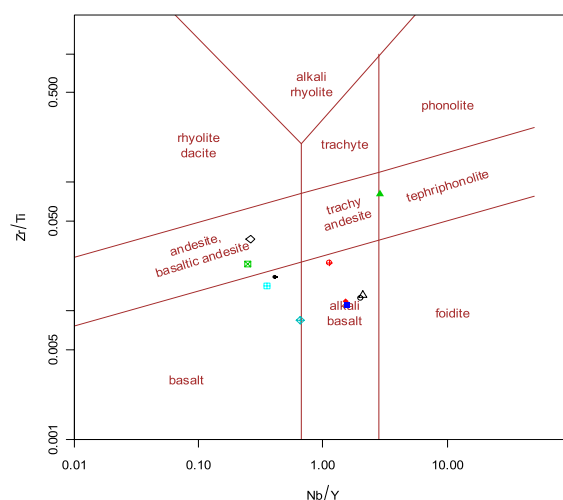
شکل ۱۰- طبقه بندی سنگ های نفوذی با استفاده از پارامتر های R₁ و R₂ (De La Roche 1980) که از نسبت های میلی کاتیونی محاسبه شده است. [۳]

$$R_1 = 4Si - 11(Na + K) - 2(Fe + Ti)$$

$$R_2 = 6Ca + 2Mg + Al$$

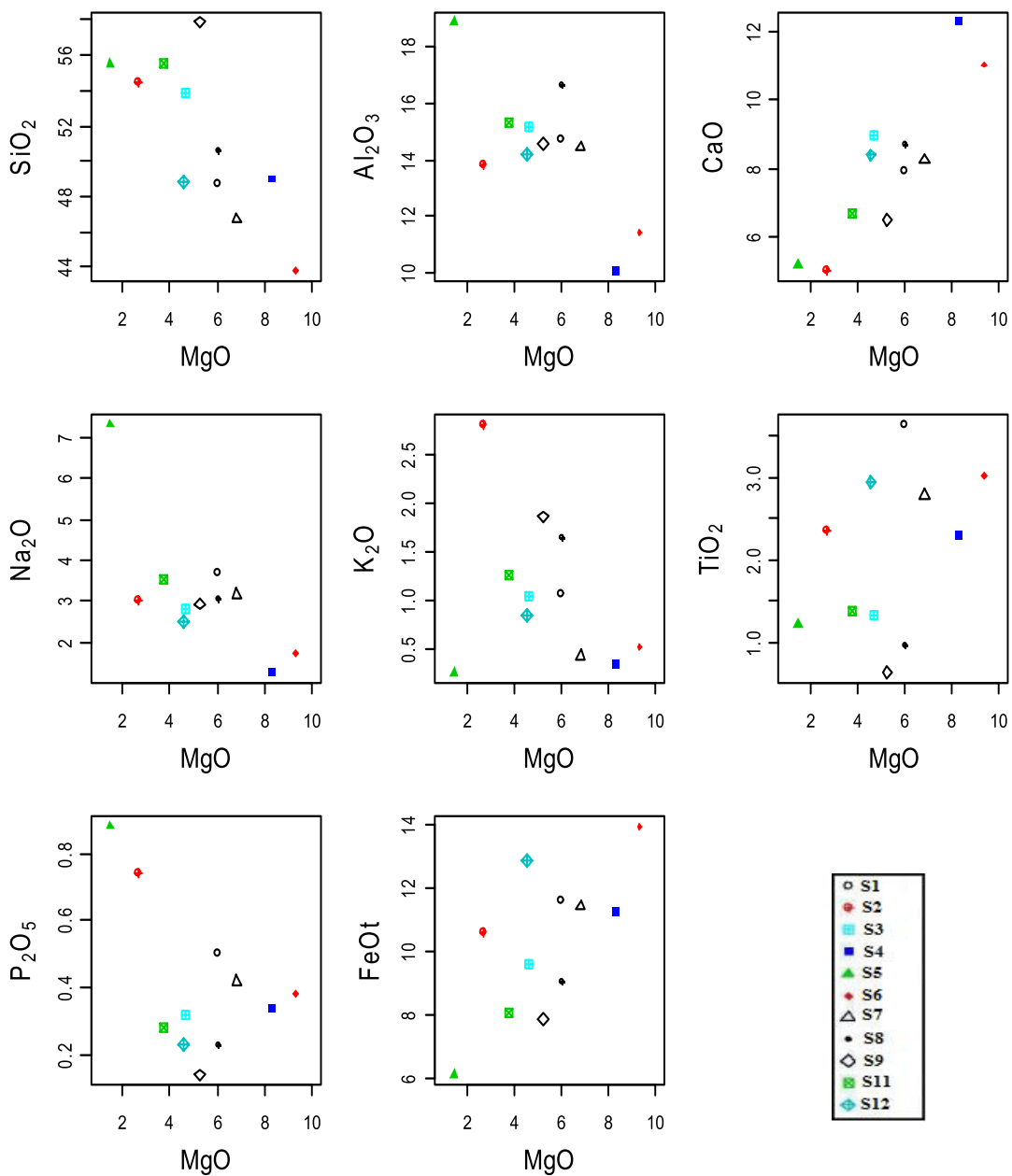


شکل ۱۳- تقسیم بندی سنگ های غیر آلکالن با استفاده از نمودار K₂O در برابر SiO₂ (Peccerillostaylor 1976). این نمودار جهت تفکیک سری سنگ های ساب آلکالن کاربرد دارد. [۳]

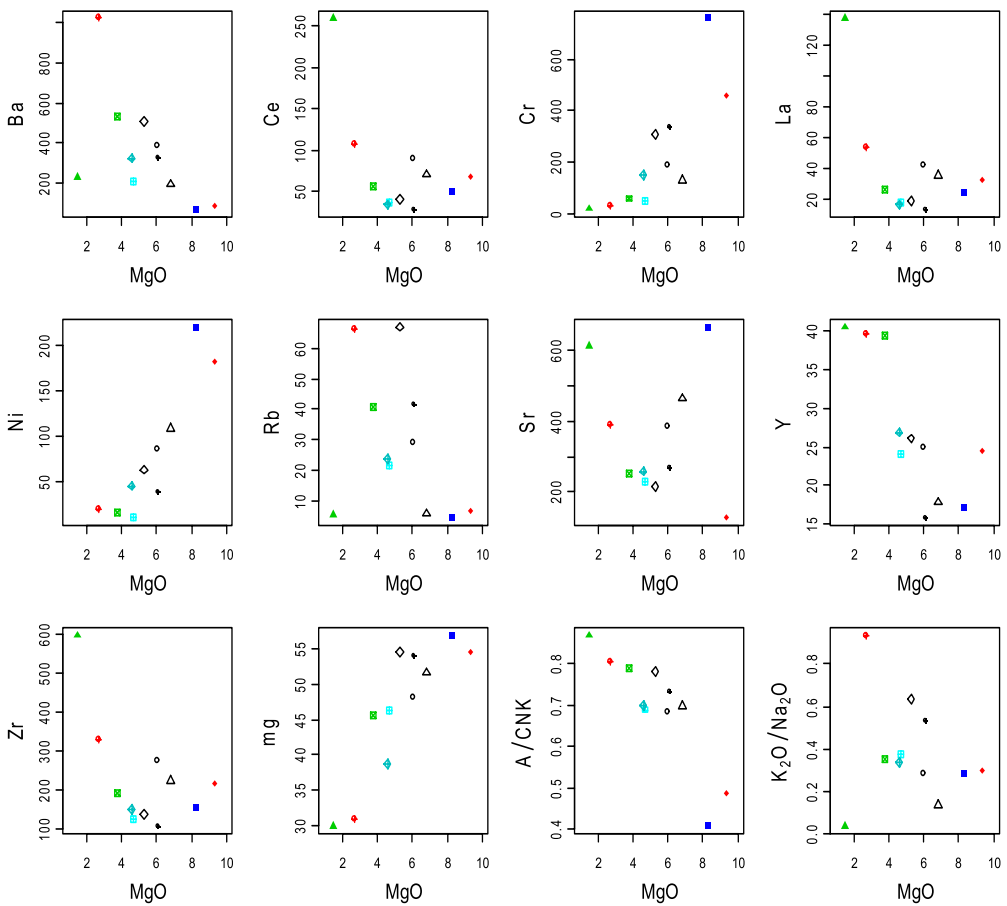


شکل ۱۱- طبقه بندی ژئوشیمیابی - اسامی سنگ های خروجی با استفاده از (modified by pearce 1996) Nb/Y-Zr/Y. در نمودار سنگها به ۲ دسته بازالت و آلکالی بازالت قابل تقسیم هستند. [۳]

منشاء آمفیبولیت‌های بنه شورو در پشته گلمنده (ساغند- ایران مرکزی)

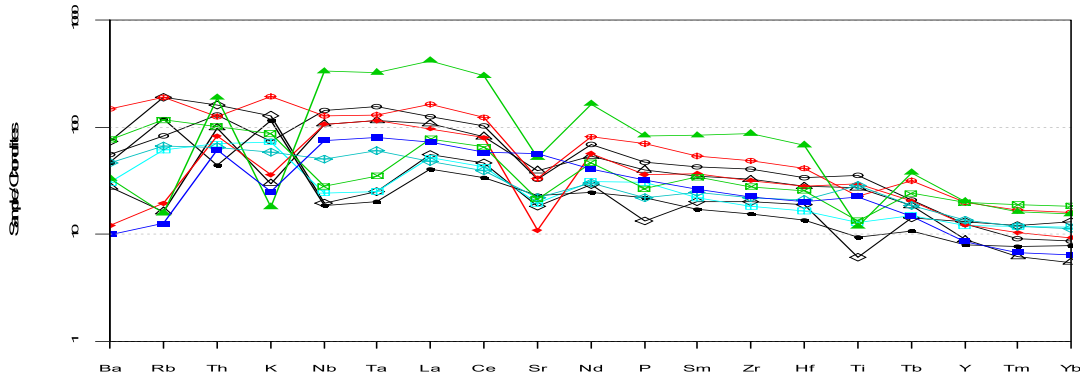


شکل ۱۴- تغییرات اکسید عناصر اصلی در برابر MgO

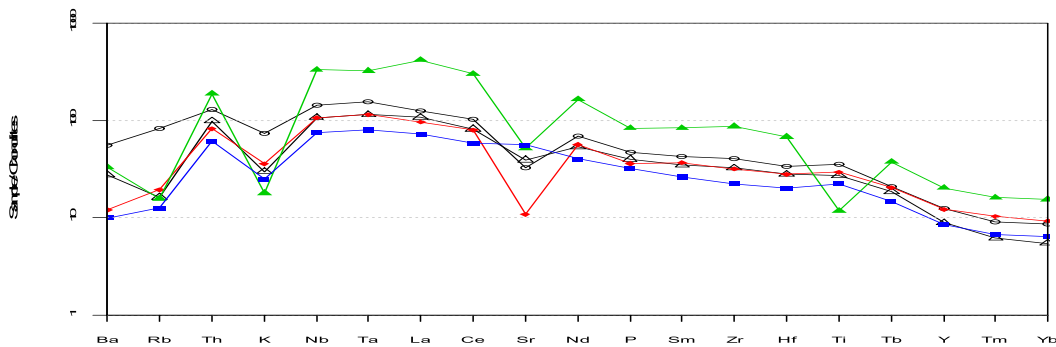


شکل ۱۵- تغییرات عناصر کمیاب در برابر اکسید منیزیم

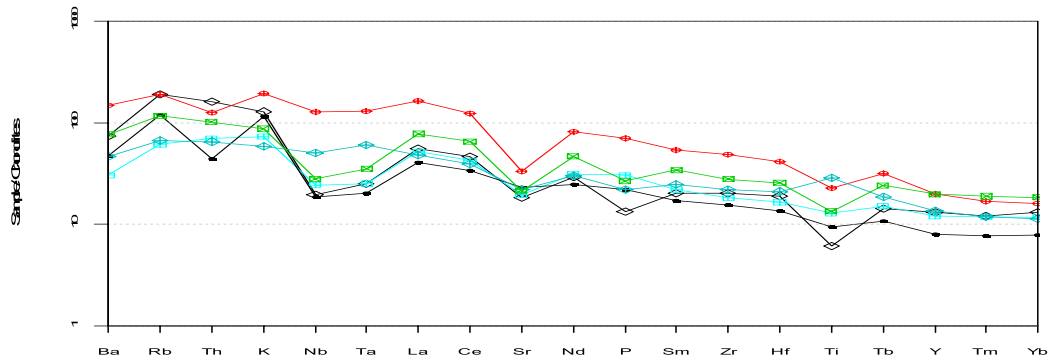
منشاء آمفیبولیت‌های بنه شورو در پشته گلمنده (ساغند- ایران مرکزی)



شکل ۱۶- نمودار عنکبوتوی نرمال شده بر پایه کندریت (Thompson, 1982)



شکل ۱۷- نمودار عنکبوتوی نمونه های شماره S1,S3,S7,S8,S11



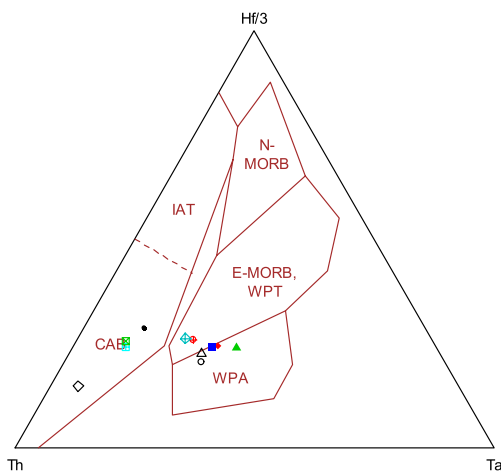
شکل ۱۸- نمودار عنکبوتوی نمونه های شماره S2,S4,S5,S6,S9,S10

C : تولیتیت درون ورقه ای و بازالت‌های کمان ماقمایی

D : مورب نوع N و بازالت‌های کمان ماقمایی

بر این اساس نمونه های سری اول در محدوده AI و نمونه های

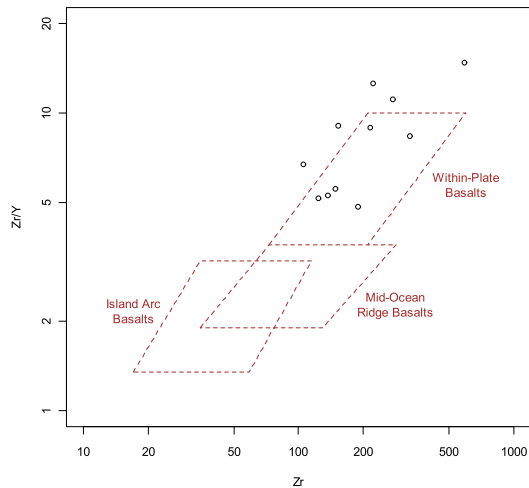
سری دوم در محدوده C قرار می گیرند.



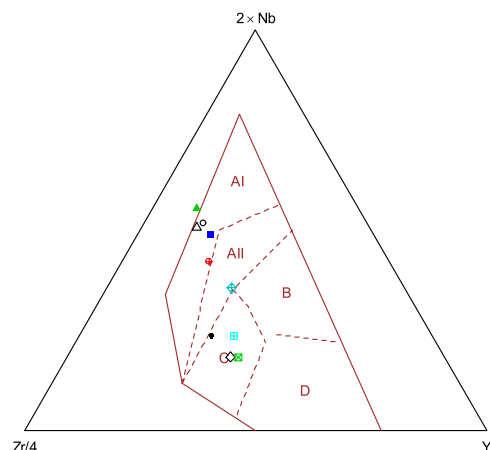
شکل ۲۱- نمودار متمايز کننده بازالتها بر اساس

Th-Hf-Ta (Wood1980)

بر این اساس نمونه های سری اول در محدوده بین آلکالی بازالت‌های درون ورقه ای با مورب نوع E و تولیت‌های درون ورقه ای و نمونه های سری دوم در محدوده بازالت‌های کمان ماقمایی قرار می گیرند [۳].



شکل ۱۹- نمودار متمايز کننده بازالتها بر اساس Zr در برابر Zr/Y (Pearce1979). بر این اساس تمامی نمونه ها در محدوده بازالت‌های درون ورقه ای قرار می گیرند [۳].



شکل ۲۰- نمودار جدا کننده بازالتها بر اساس

[۳]. (Meshed1986)

: آلکالی بازالت درون ورقه ای؛ AI : آلکالی بازالت درون

ورقه ای و تولیت درون ورقه ای؛ B : مورب نوع E :

نتیجه گیری

مستقیماً از گوشه منشاء گرفته و قدیمی‌تر بوده و دیگری جوانتر و از آالایش پوسته‌ای متأثر است. در این دگرگونی کوارتزیتها به میکا شیست، سنگ آهکها به مرمر و پی سنگ و نفوذی‌های بازیک به آمفیبولیت تبدیل شده‌اند. نتایج تجمع کانیها در مطالعات پتروگرافی و آنالیز الکترون میکروپروروب نشان از دگرگونی تا حد رخساره آمفیبولیت دارد. وجود نواهای هورنبلن‌با ترکیب چرم‌مکیت، هاستینگریت همراه با اپیدوت فراوان در آمفیبولیت‌ها نشان از رخساره اپیدوت آمفیبولیت داشته و ظهور گارنت‌های درشت با ترکیب آلماندن گذر از رخساره به درجات بالاتر را نشان می‌دهد.

از این بررسی‌ها چنین بر می‌آید که مجموعه گلمنده حاصل دگرگونی سنگ‌هایی است که در یک حوضه کم عمق همراه با سنگ‌های ماگمایی بر روی یک پی سنگ اولترابازیک تا بازیک استوار شده است. مجموعه‌ای متناظر از ماسه سنگ‌های کوارتز آرنیتی با میان لایه‌هایی از سنگ آهک محیط‌های کم عمق. مطالعات ژئوشیمی پی سنگ حوضه را گابرو یا بازالت‌های با گرایش کالکو‌آلکالن تا آلکالن و از منشاء یک گوشه غنی شده دانسته و محیط تشکیل آنها را درون ورقه‌ای نشان می‌دهد که احتمالاً نشانی از تأثیر یک نقطه داغ در عمق گوشه می‌باشد.

این مجموعه همراه با سنگ‌های مافیک نفوذی و خروجی بخش زیرین خود، احتمالاً در ۵۴۷ میلیون سال قبل (سن دگرگونی آمفیبولیت‌های گلمنده) همزمان با نفوذ مجموعه‌های بازیک تا حد وسط با ترکیب گابرو-دیوریت دگرگون شده‌اند. مطالعات ژئوشیمی کل سنگ از نمونه‌های برداشت شده از آمفیبولیت‌ها به نوعی در تأیید فرض فوق است. این مطالعات نشان از دو منشاء قابل تفکیک آمفیبولیت‌ها دارد و آنها را به دو مجموعه یکی از نوع کالکو‌آلکالن تا آلکالن با منشاء گوشه غنی شده ($\text{Eu}/\text{Eu}^*>1$) و دیگری کالکو‌آلکالن تا تولیت یا آلدگی پوسته‌ای ($<1<\text{Eu}/\text{Eu}^*$) است که هردو در محیط تکتونیکی درون ورقه‌ای قاره‌ای پدید آمده است. این نتایج تفکر وجود دو منشاء یا یک منشاء در دو زمان متفاوت از یک نقطه داغ را نشان می‌دهد که اولی

منابع

- ۱- باباخانی، ع.، سال ۱۳۷۲، نقشه زمین‌شناسی ساغند، ۱:۱۰۰۰۰، سازمان زمین‌شناسی و اکتشافات معدنی کشور.
- ۲- حقی پور، ع.، (۱۳۵۵)، بررسی‌های زمین‌شناسی ناحیه بیانک و بافق (ایران مرکزی)، پترولوزی و تکتونیک پی سنگ پرکامبرین و پوشش رسوبی آن، سازمان زمین‌شناسی ایران، ۲۷۳، ص.
- ۳- کریم زاده ثمرین، ع.، (۱۳۸۱)، رولینسون، (تالیف)، کاربرد داده‌ای ژئوشیمیایی، انتشارات تبریز، ۳۵۲، ص.
- ۴- هوشمندزاده، ع.، (۱۳۶۷)، مقدمه‌ای بر زمین‌شناسی بیانک- بافق، مجموعه مقالات سمینار توان معدنی استان یزد، وزارت معادن و فلزات، ص: ۲۰-۳۵.
- ۵- هوشمندزاده، ع.، نوگل سادات، م.، (۱۳۸۷)، نقشه زمین‌شناسی رباط پشت بادام، ۱:۱۰۰۰۰، سازمان زمین‌شناسی و اکتشافات معدنی کشور.

- 11-kleemann and Jurgen Reinhardt, Ulrich,(1994),
Garnet-biotitic thermometry revisited: the effect of
Aland Ti in biotite,P:233-235.
- 6- Alexander, N. Winchell, H.Winchell, (1967),
Elements of Optical Mineralogy and Introduction to
Microscopic petrography, New York, John Willy
SSONS,INC,551P.
- 7-R. Caby, D., Hammor, C., Delor, (2001).
Metamorphic evolution, partial melting and Miocene
exhumation of lower crust in the Edough metamorphic
core complex, west Mediterranean orogen, eastern
Algeria, Tectonophysics,P: 342, 239, 273.
- 8-Franks. Spear, (2005), Metamorphic phase
Equilibria and pressure-Temperature-Time paths -
Department of Earth and Environmental sciences
Rensselear, Polytechnic Institute ,Troy, New York,
Mineralogical Society of America, Washington D.C,
789P.
- 9-Jahandar Ramezani,(1997) ,Regional Geology,
Geochronology and Geochemistry of the Igneous and
Metamorphic Rock suites, of the saghanel Are, central
Iran, 270P.
- 10-Jahandar Ramezani and Robert D., Tucker,(2003)
The Saghnd region, central Iran: U-Pb
Geochronology, Petr genesis and Implications for
Gondwana tectonics ,St. Louis, Missouri 63130,
[American Journal of Science, Vol. 303, Sept, P:622-
665Mmm.
- 12-NISCO, (1980), Report on result of search and
evaluation work at magnetic anomalies of the Bafgh
Iran ores region during 1976-1979 ,P:35-72.
- 13-Samani, B., (1998), Precambrian metalogenic
province in central Iran, AEOI Scientific Bulletin,
V17,P:1-16.
- 14-Samani, B., Zhyi, G., Xuetao, G., Chuan, T.,
(1994). Geology of Precambrian in central Iran,
Geoscience journal of the geology survey of Iran V.3
(10),P:40-63.
- 15-Vila .M. , Pin, E., Liesa, M., & Enruqe, (2007)
,Lpth metamorphism in late orogenic, Transpressional
setting, Albera Massif, NE Iberia:implication For the
geodynamic, Evolution of the variscan Pyrenees, P:15-
19.